

پروژه درس اصول شبیه سازی

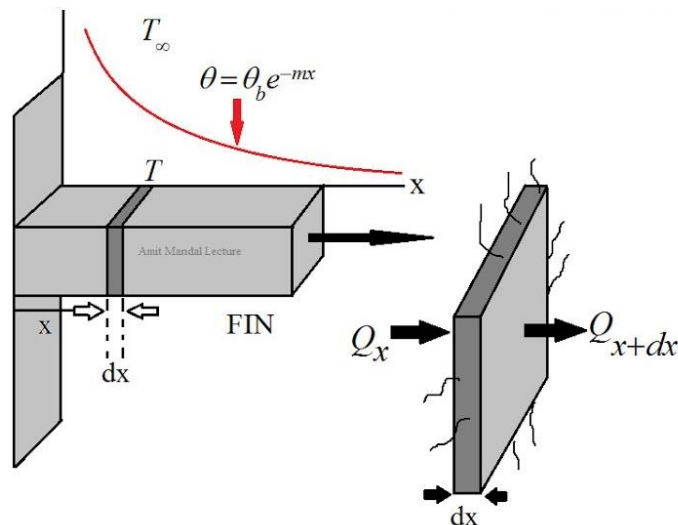
نویسنده : امیرحسین فروزنده نژاد

مقدمه

هدف از انجام این پروژه تفهیم بهتر مباحث تدریس شده در این فصل و همچنین مقایسه انواع روش‌های حل معادلات PDE از منظر دقت و هزینه محاسباتی است. که در ادامه به حل معادله انتقال حرارت کانداکشن دوبعدی گذرا خواهیم پرداخت.

معادله حاکم

معادله انتقال حرارت کانداکشن دو بعدی گذرا یکی از معادلات پرکاربرد در صنعت است که به عنوان مثال میتوان به محاسبه انتقال حرارت به وسیله پره (fin) اشاره کرد.



شکل 1. نمایی از نحوه انتقال حرارت کانداکشن در پره

معادله حاکم بر انتقال حرارت دو بعدی کانداکشن گذرا (با صرف نظر از منبع گرمایی و فرض ثابت بودن خواص) به شرح زیر است:

$$K \left(\frac{\partial^2 T}{\partial x^2} + \frac{\partial^2 T}{\partial y^2} \right) = \rho c \frac{\partial T}{\partial t} \quad \text{معادله 1}$$

$$\left(\frac{\partial^2 T}{\partial x^2} + \frac{\partial^2 T}{\partial y^2} \right) = \frac{1}{\alpha} \frac{\partial T}{\partial t} \quad \text{معادله 2}$$

برای حل این معادله با روش‌های عددی نیازمند تولید شبکه برای حل هستیم که با فرض همگن بودن شبکه حل و $g = 0$ میتوان با تعریف $r = \frac{\alpha \cdot dt}{dx^2}$ معادله 2 را برای سه روش حل به صورت زیر باز نویسی کرد.

Explicit

$$T_{i,j}^{n+1} = r(T_{i+1,j}^n + T_{i-1,j}^n + T_{i,j+1}^n + T_{i,j-1}^n) + (1 - 4r)T_{i,j}^n$$

معادله 3

Implicit

$$T_{i,j}^{n+1} = r(T_{i+1,j}^{n+1} - 2T_{i,j}^{n+1} + T_{i-1,j}^{n+1} + T_{i,j+1}^{n+1} - 2T_{i,j}^{n+1} + T_{i,j-1}^{n+1}) + T_{i,j}^n$$

معادله 4

Crank Nicholson

$$(1+4r).T_{i,j}^{n+1} = r(T_{i+1,j}^{n+1} + T_{i-1,j}^{n+1} + T_{i,j+1}^{n+1} + T_{i,j-1}^{n+1}) + r(T_{i+1,j}^n + T_{i-1,j}^n + T_{i,j+1}^n + T_{i,j-1}^n) + (1 - 4r)T_{i,j}^n$$

معادله 5

بررسی فیزیکی مسئله

بررسی فیزیکی این مسئله در سه بخش انجام شده است که در بخش اول به بررسی تاثیر وجود منبع گرمایی پرداخته شده است و در قدم بعدی به بررسی تاثیر شرایط مرزی و در آخر به بررسی تاثیر جنس ماده پرداخته شده است.

تاثیر وجود منبع گرمایی

وجود منبع گرمایی باعث تغییر معادلات ۳ تا ۵ میشود که در ادامه به اصلاح معادله ۳ پرداخته خواهد شد.

$$\left(\frac{\partial^2 T}{\partial x^2} + \frac{\partial^2 T}{\partial y^2}\right) + \frac{\dot{q}}{K} = \frac{1}{\alpha} \frac{\partial T}{\partial t}$$

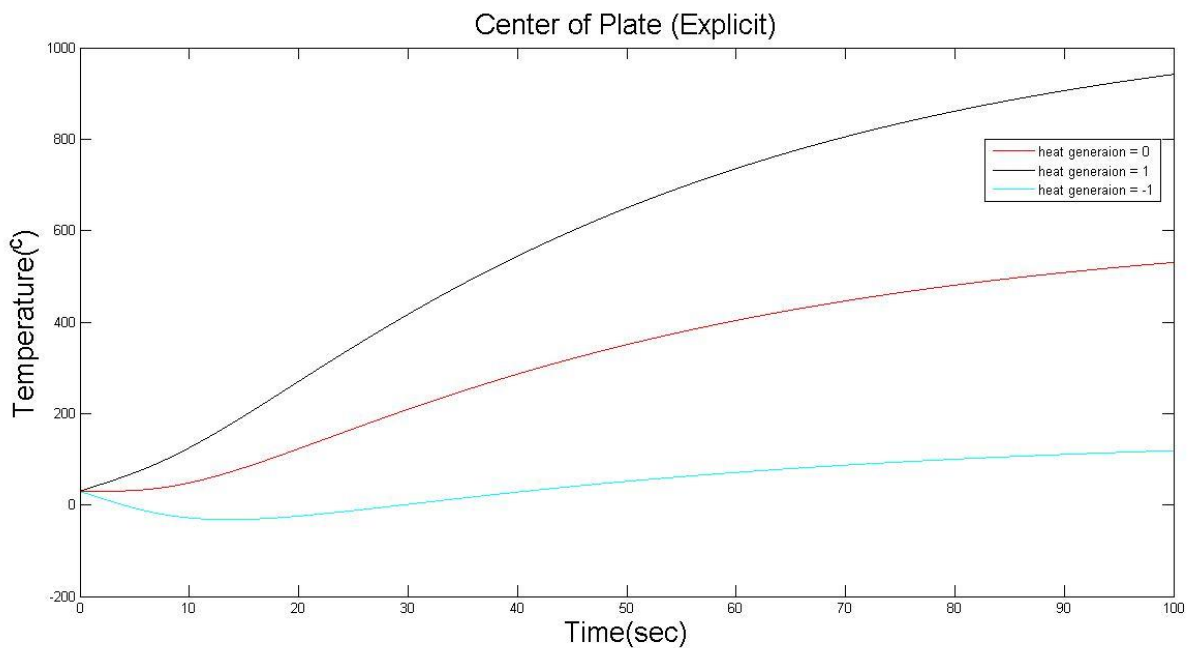
معادله

6

$$T_{i,j}^{n+1} = r(T_{i+1,j}^n + T_{i-1,j}^n + T_{i,j+1}^n + T_{i,j-1}^n) + (1 - 4r)T_{i,j}^n + \frac{\Delta t}{c*\rho} * \dot{q}$$

معادله 7

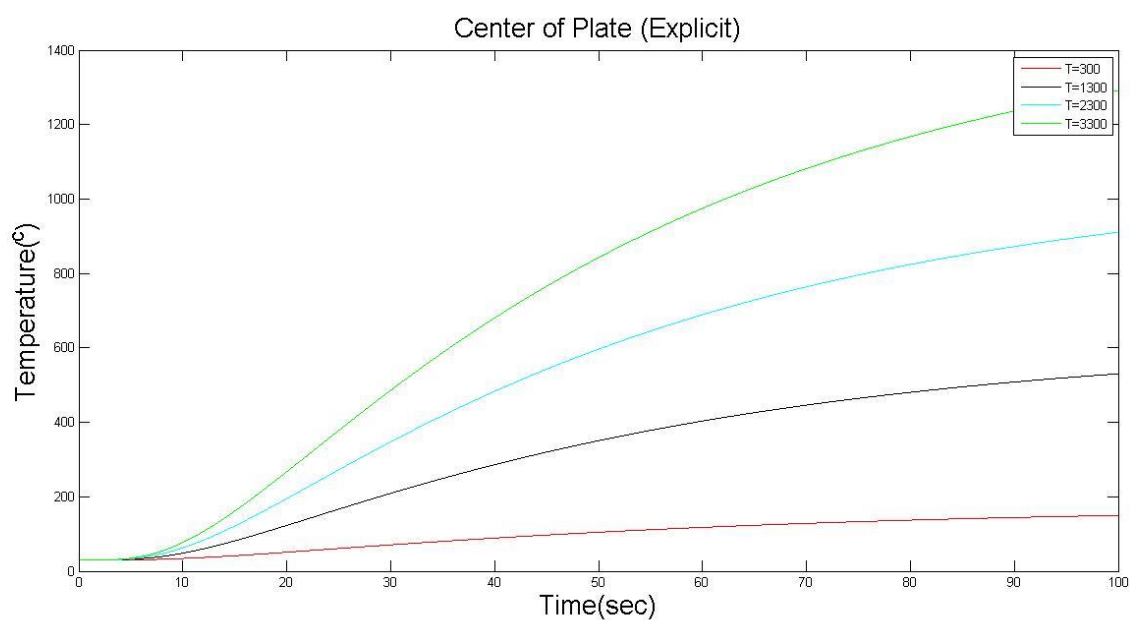
حال میتوانیم به حل معادله 7 برای شرایط تعریف شده در صورت پروژه با توانهای متفاوت منبع گرمایی پردازیم که برای فهم راحت تر این موضوع بررسی دمای نقطه‌ی مرکزی هندسه حل به جای کل مساحت صفحه خواهیم پرداخت.



شکل 1: تاثیر تولید حرارت بر واحد سطح نحوه تغییر دما

تاثیر شرایط مرزی

بررسی این عامل نشان داد که شرایط مرزی تاثیر فراوانی روی شرایط تعادل و همچنین نحوه تغییر دما دارد که نمونه از این تغییرات در شکل 2 قابل مشاهده است.



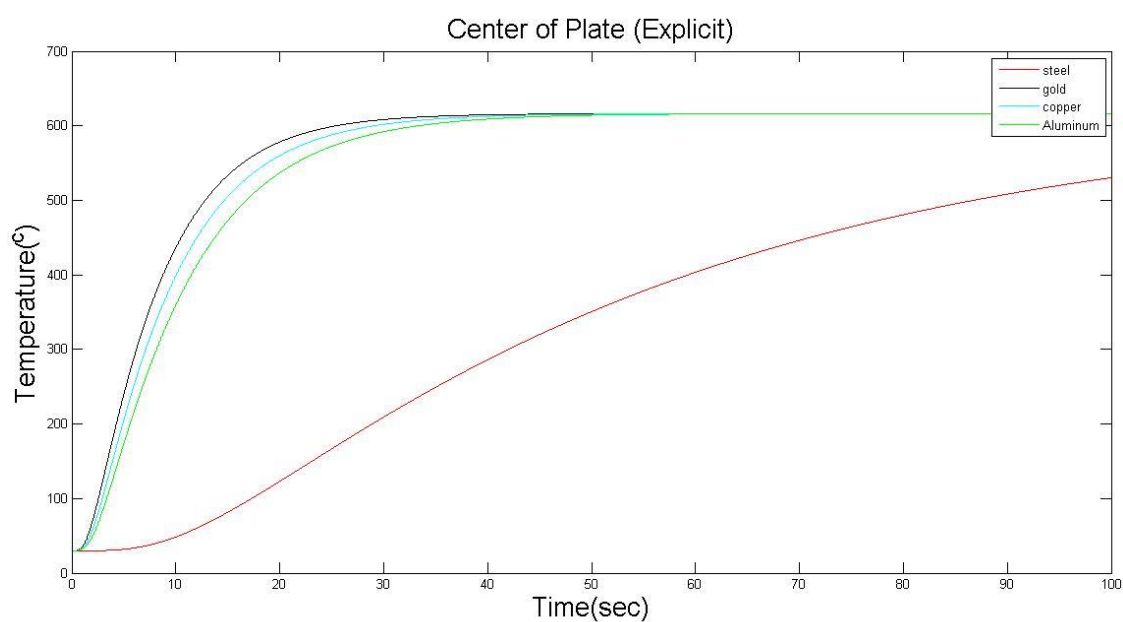
شکل 2: تاثیر تغییر شرایط مرزی وجه بالایی در نحوه تغییر دما

تأثیر جنس ماده

با بررسی جنس سه ماده متفاوت که در جدول 1 شرح داده شده است به این نتیجه رسیدیم که برای این مسئله جنس مواد در شرایط تعادل تأثیری ندارند بلکه در مدت زمان رسیدن به تعادل مؤثرند.

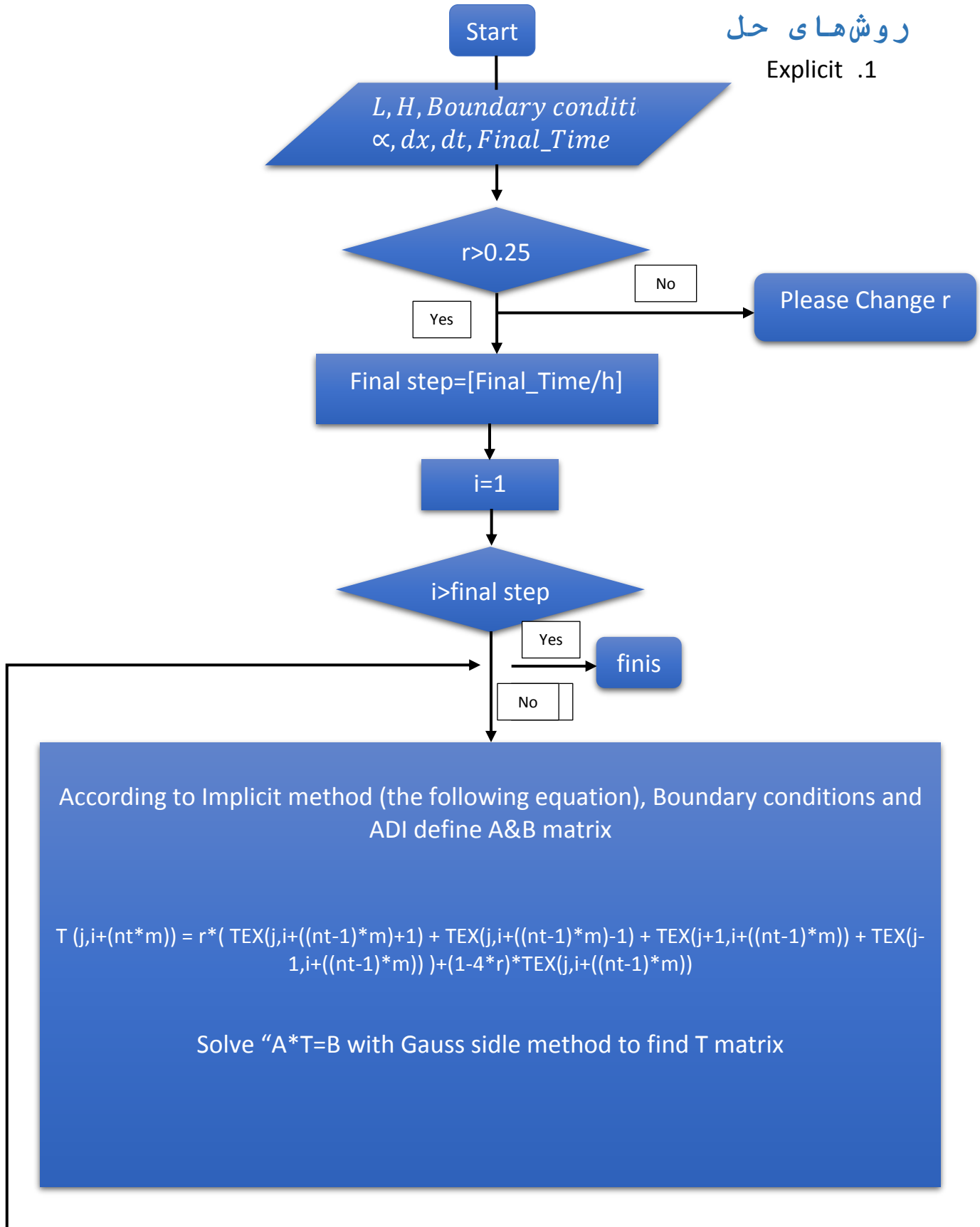
	c (J/kg/ K)	k (w/m/k)	ρ (kg/m ³)	alpha(در مقیاس cm)
Aluminum	795	143	2800	0.97
Copper	386	388	8940	1.11
Gold	126	318	19320	1.27
steel(0.5%c)	465	54	7850	0.188

جدول 1: مشخصات حرارتی مواد

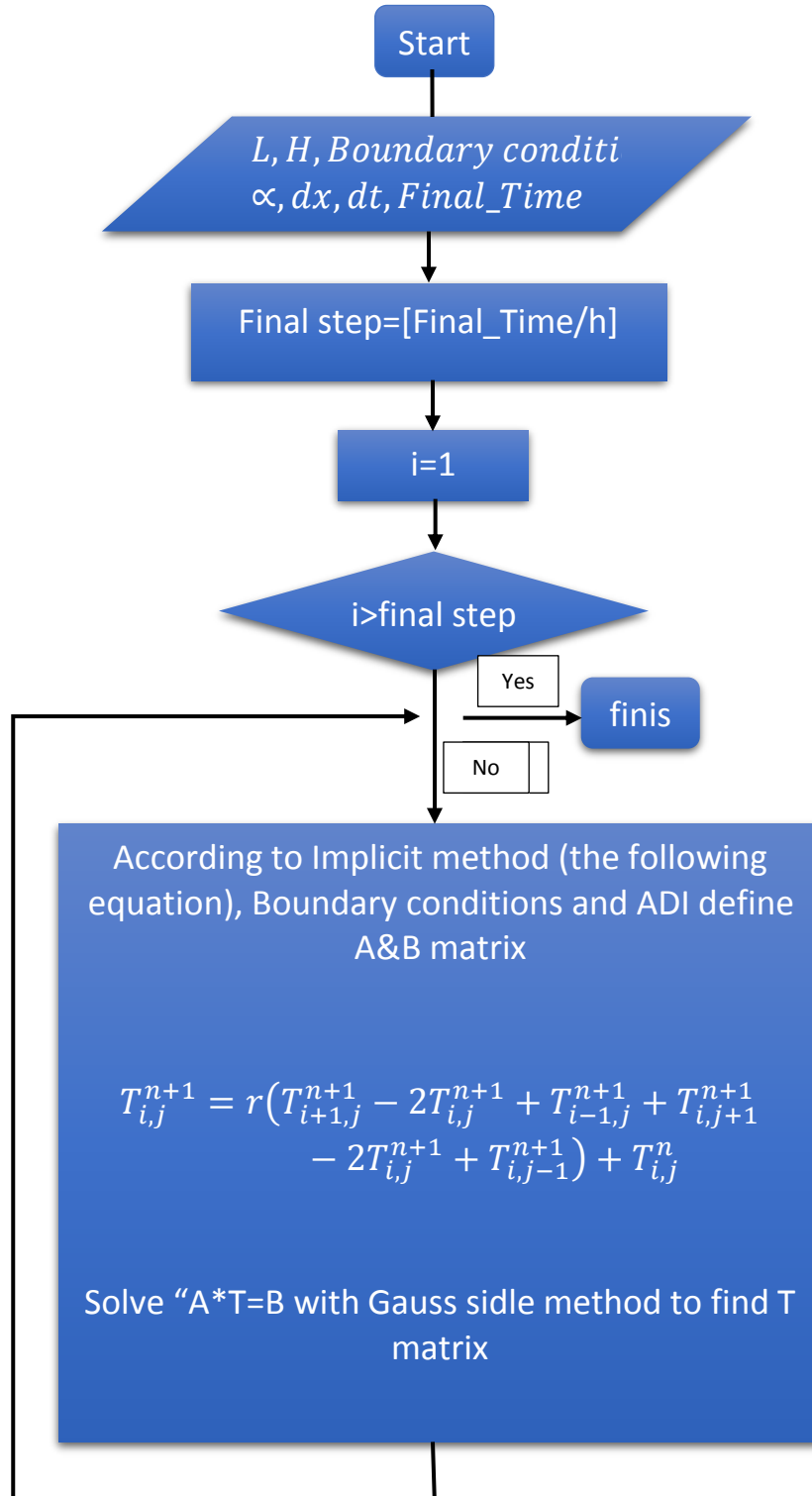


شکل 3: تأثیر جنس بر تغییر دما

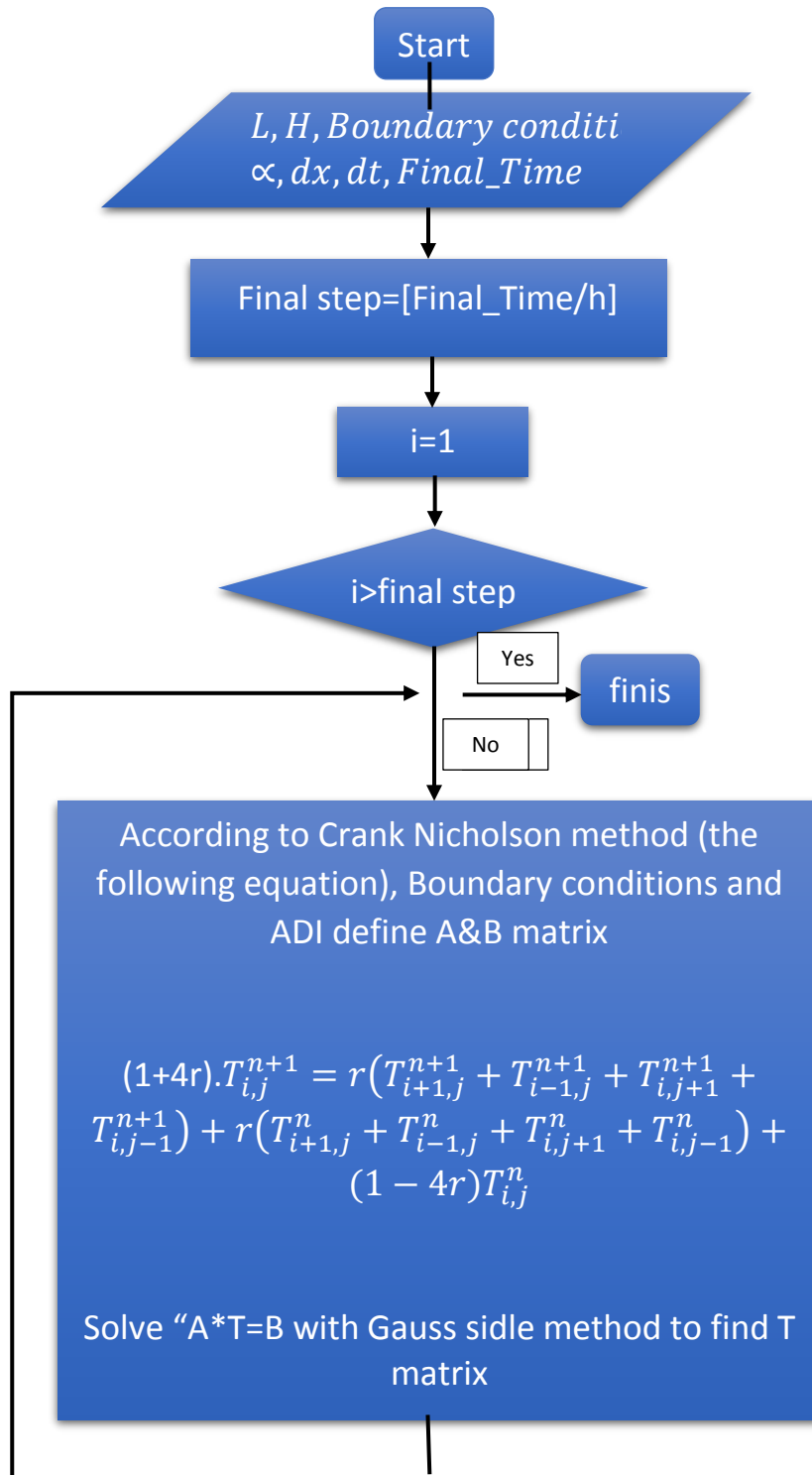
روش‌های حل
Explicit .1



Implicit .2

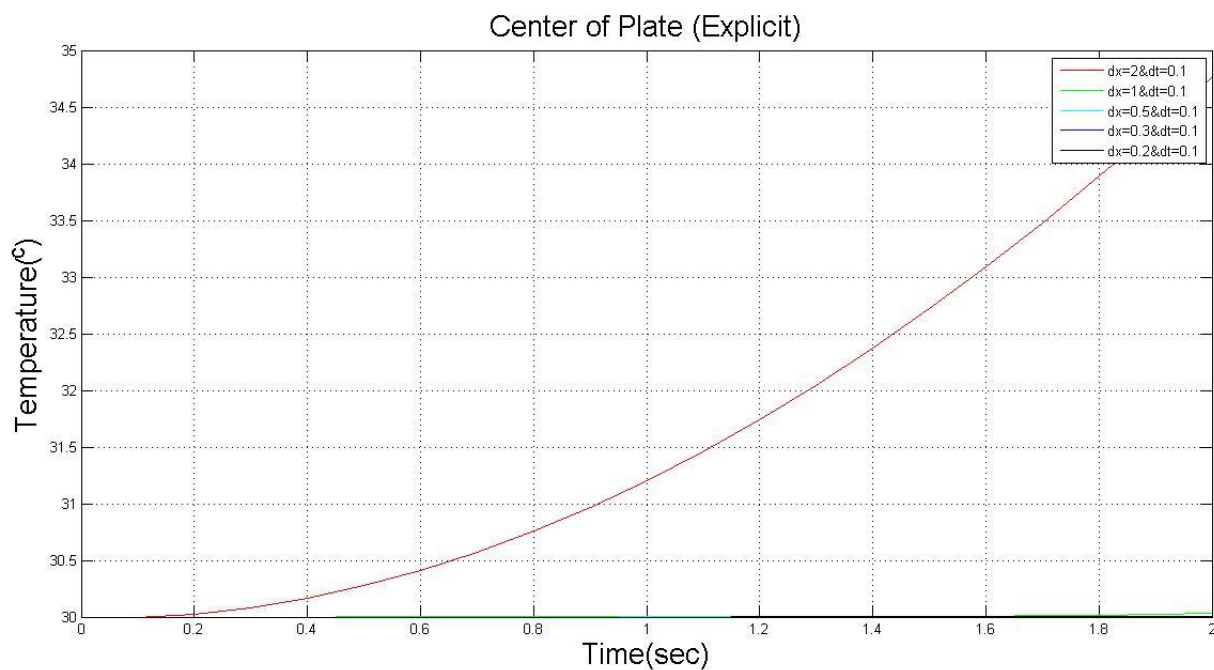


3. Crank Nicholson

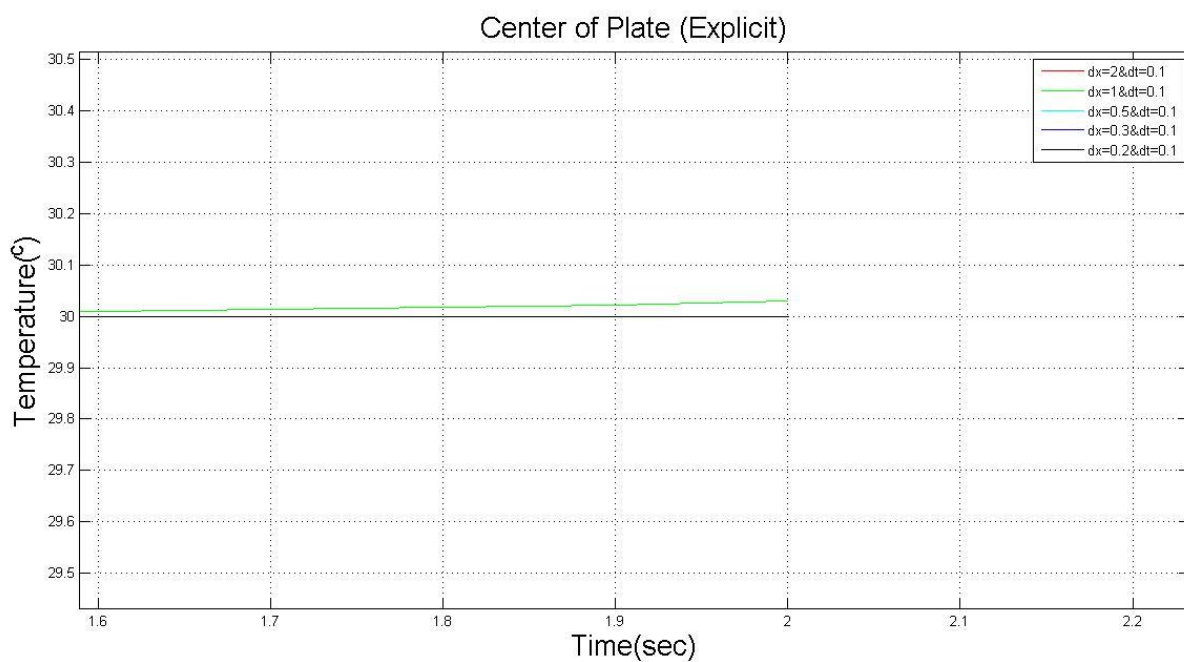


استقلال از اندازه شبکه

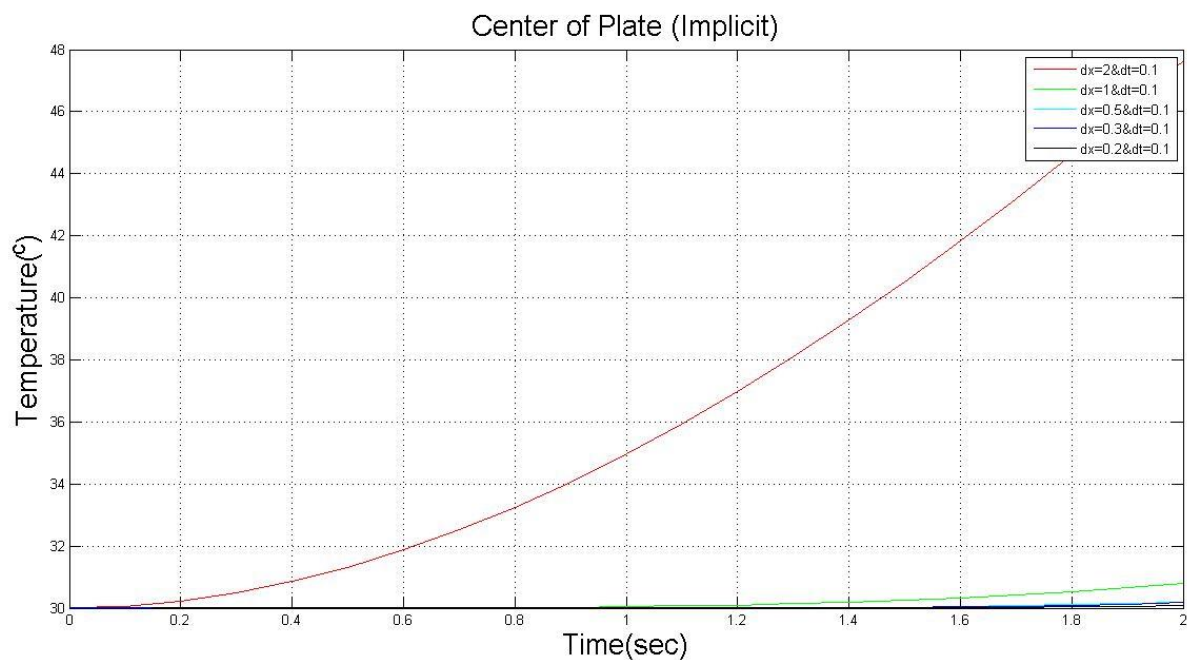
برای این منظور برای هر سه روش به طور جداگانه مسئله در اندازه های مختلف شبکه حل شده است که نتایج آن در شکل های 4 تا 9 آماده است.



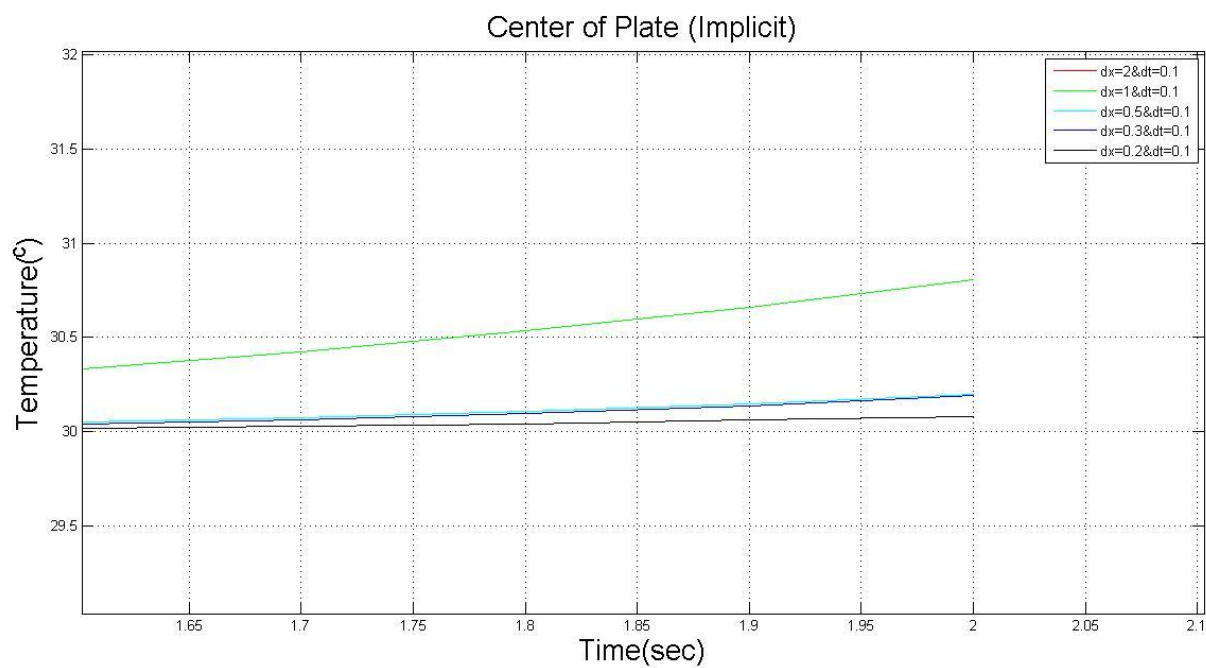
شکل 4: بررسی اندازه شبکه برای روش Explicit



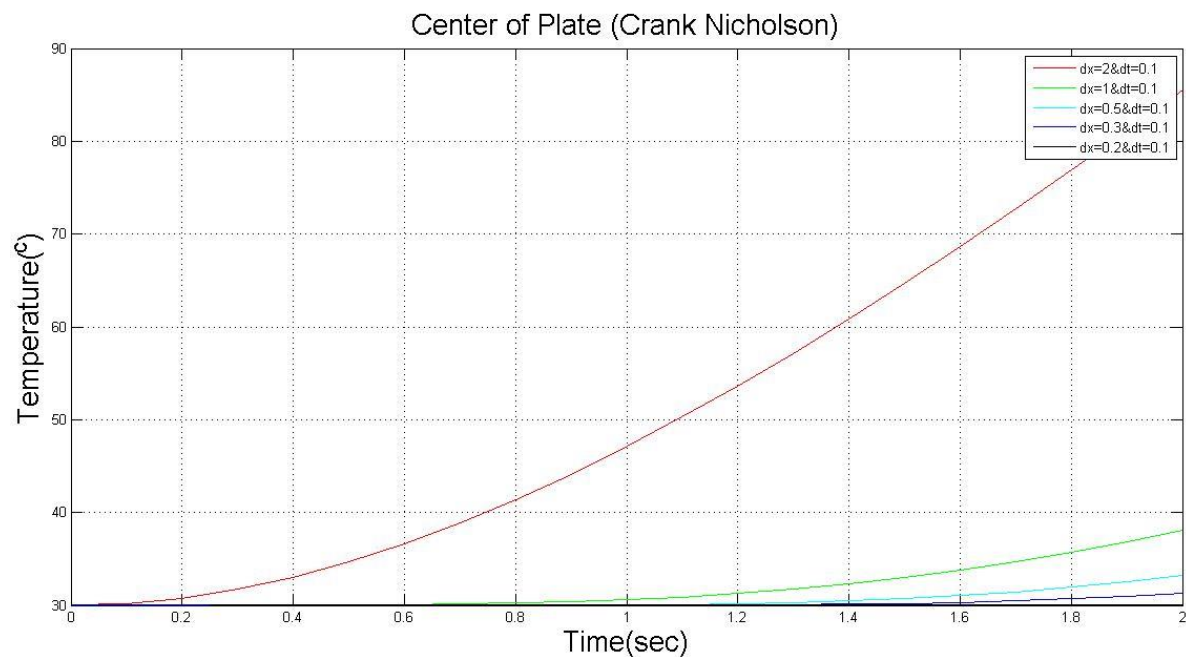
شکل 5: بررسی اندازه شبکه برای روش Explicit



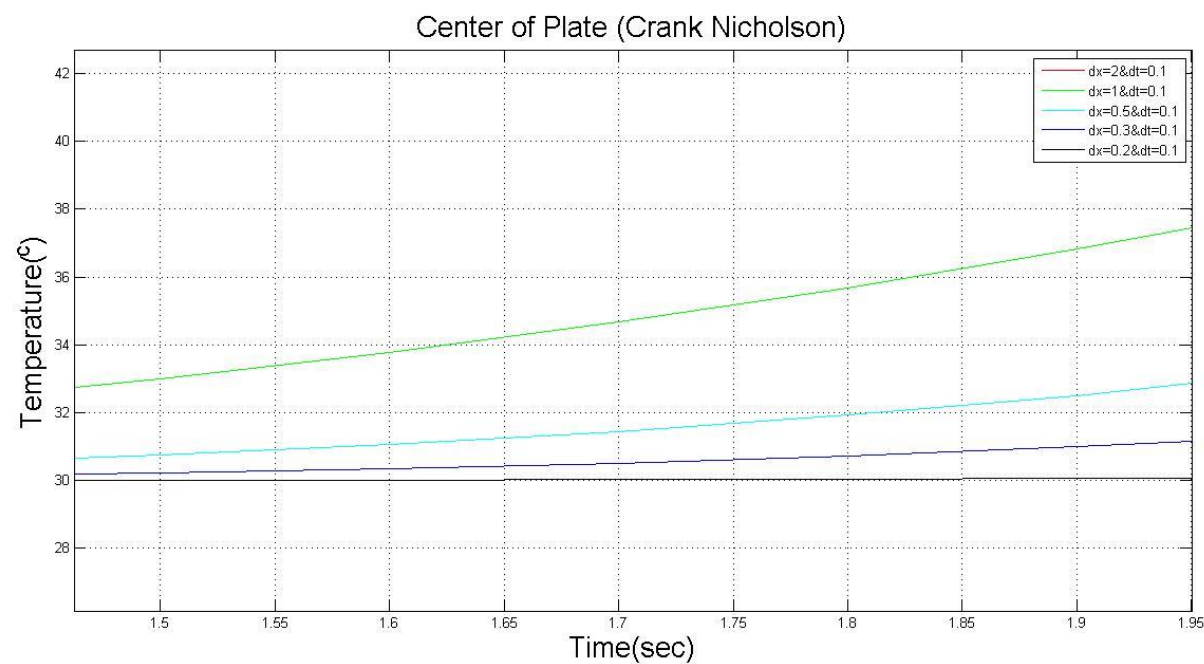
شکل 6: بررسی اندازه شبکه برای روش Implicit



شکل 7: بررسی اندازه شبکه برای روش Implicit



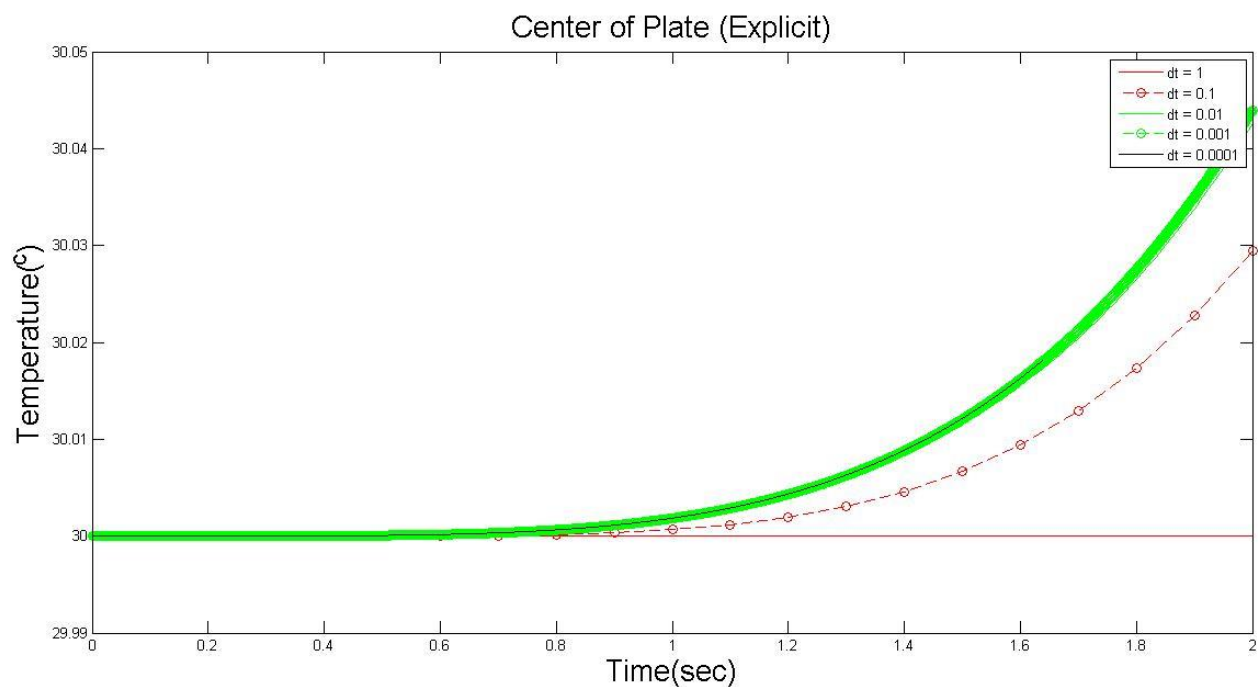
شکل 8: بررسی اندازه شبکه برای روش Crank Nicholson



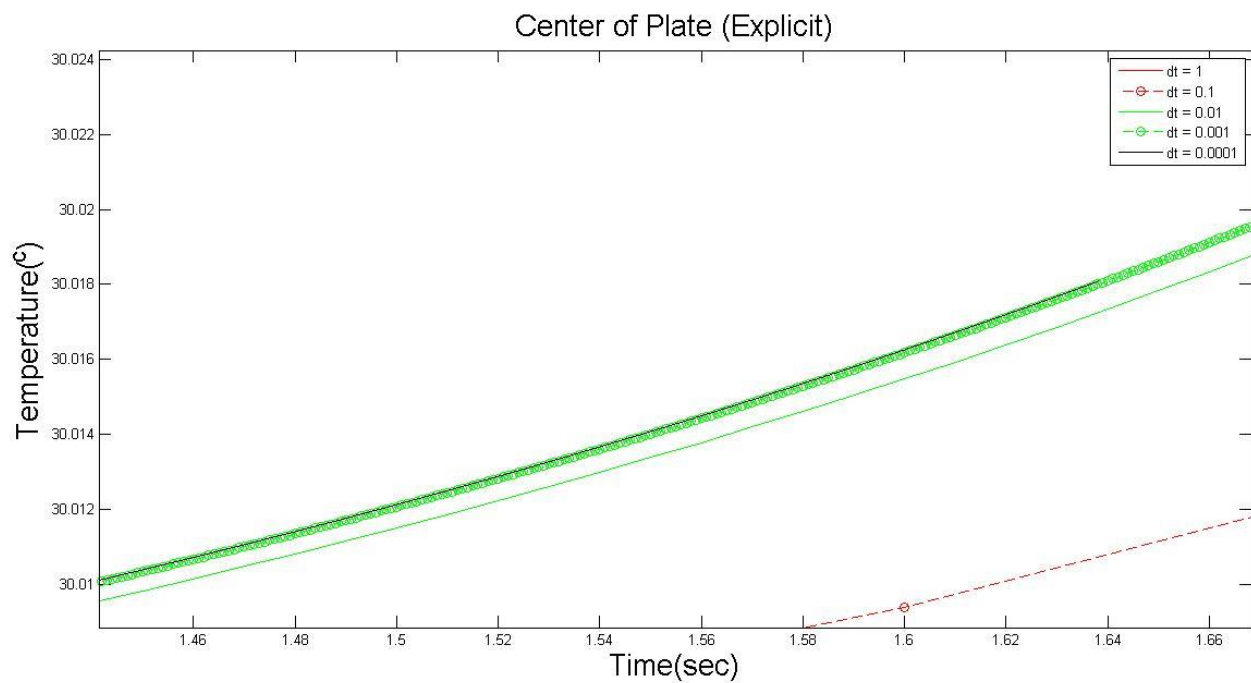
شکل 9: بررسی اندازه شبکه برای روش Crank Nicholson

استقلال از گام زمانی

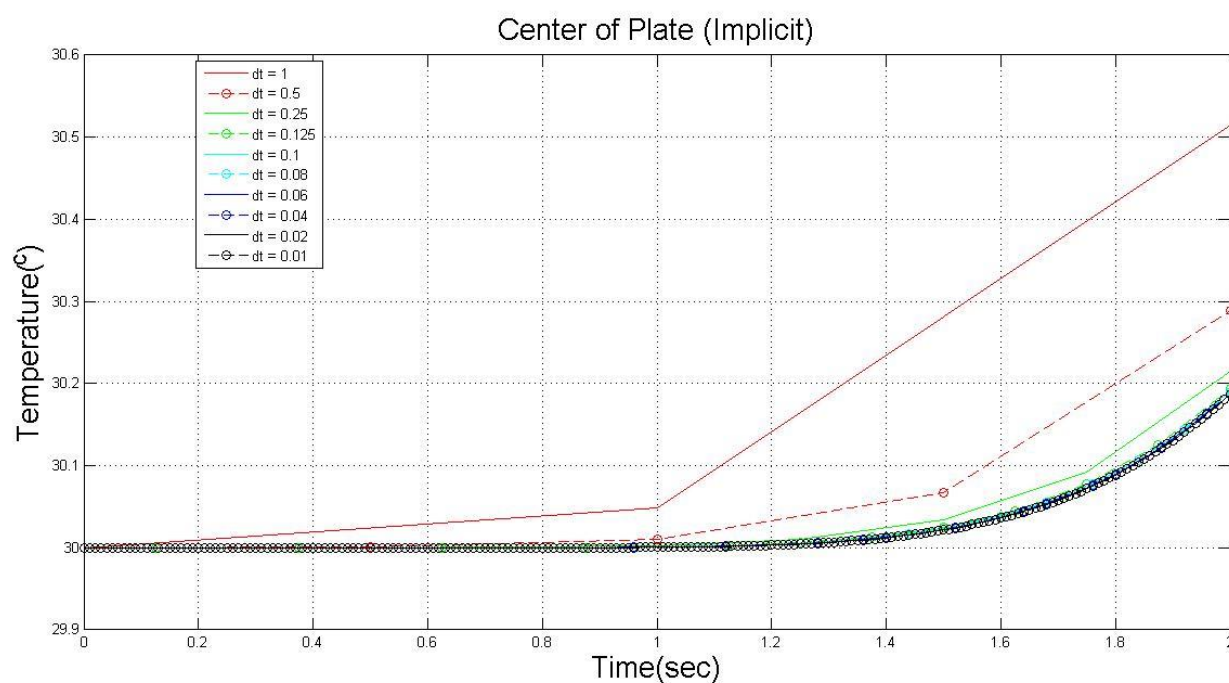
برای این منظور برای هر سه روش به طور جداگانه مسئله در اندازه های مختلف شبکه حل شده است که نتایج آن در شکل های 10 تا 14 آماده است.



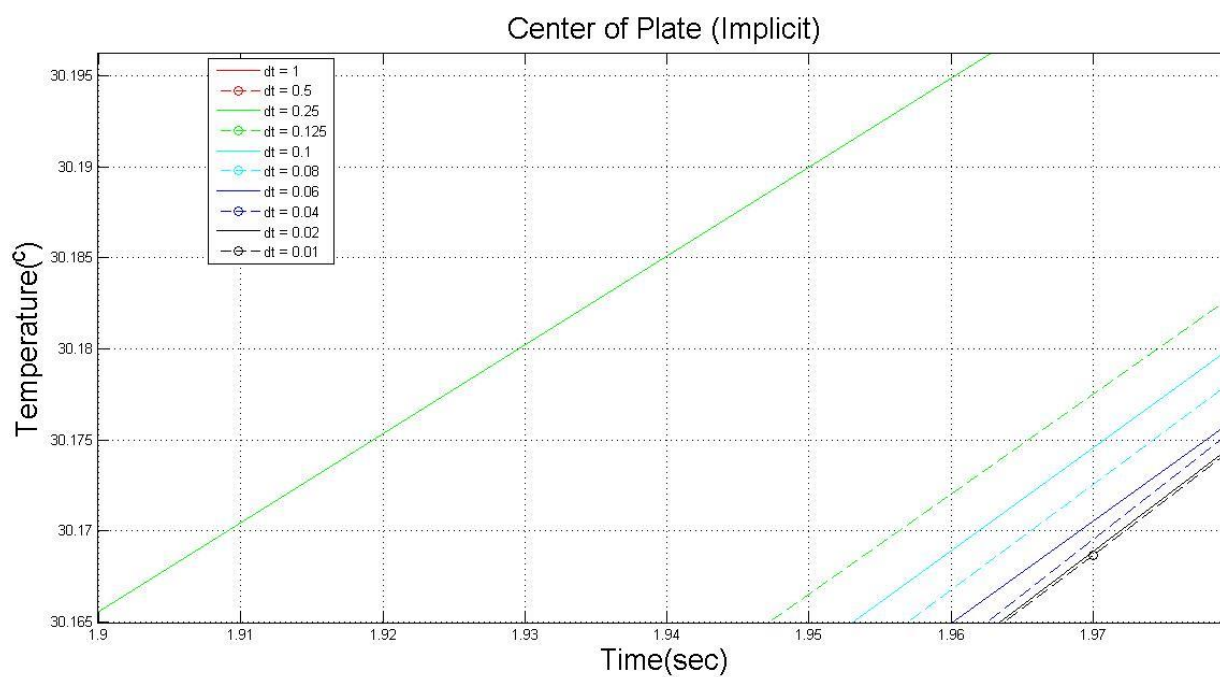
شکل 10: بررسی گام زمانی شبکه برای روش Explicit



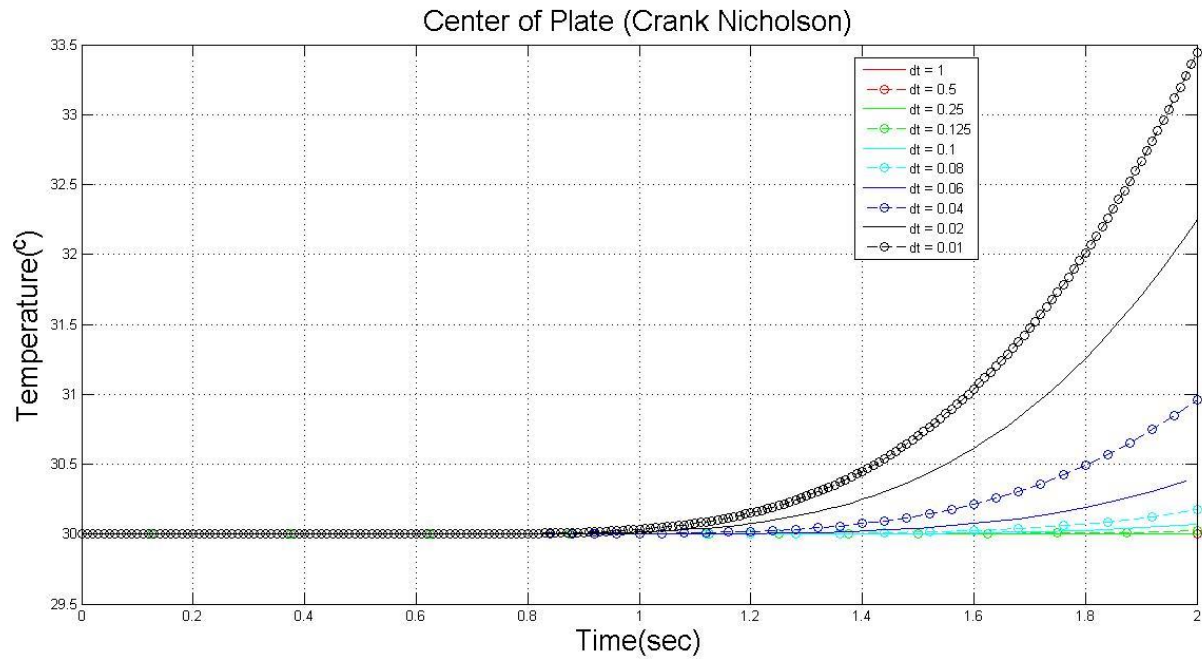
شکل 11: بررسی گام زمانی شبکه برای روش Explicit



شکل 12: بررسی گام زمانی شبکه برای روش Implicit



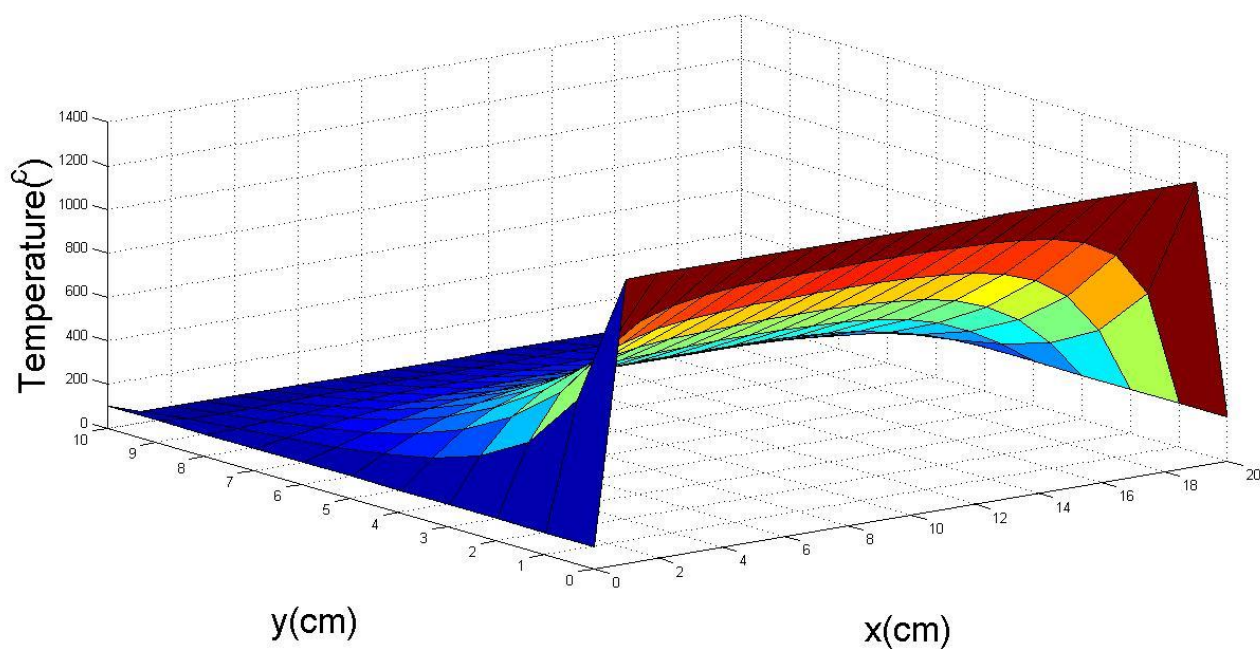
شکل 13: بررسی گام زمانی شبکه برای روش Implicit



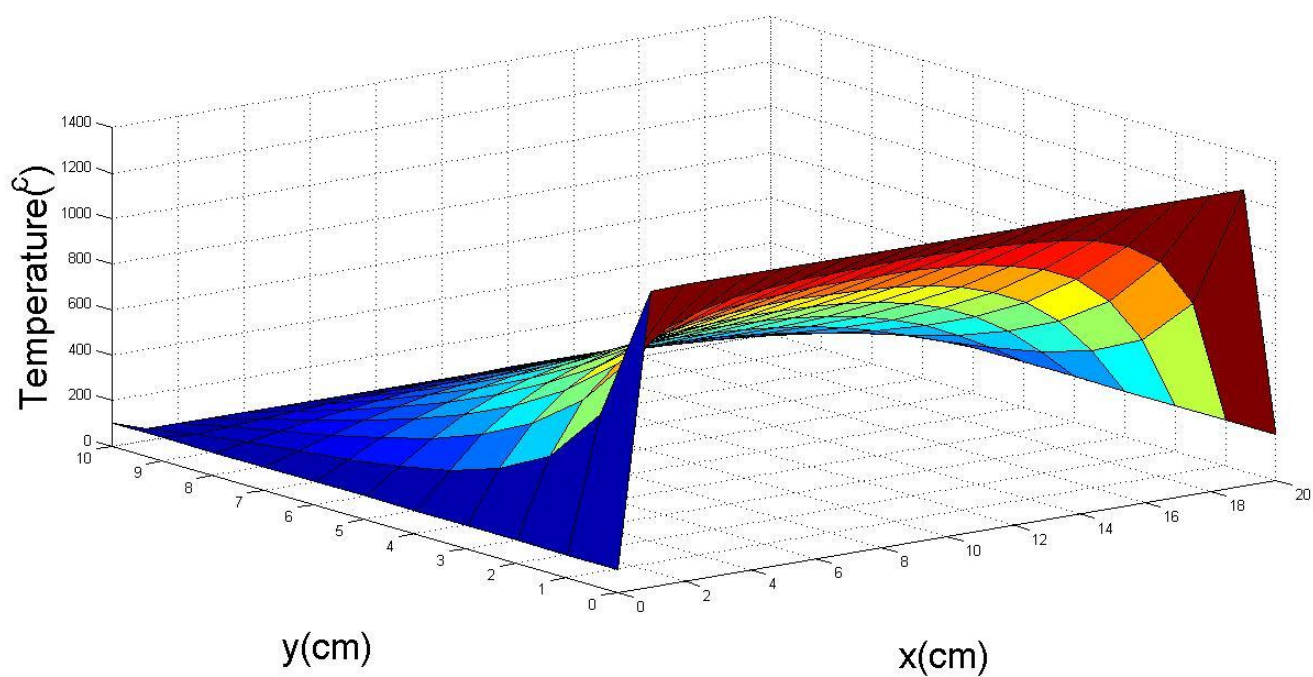
شکل 14: بررسی گام زمانی شبکه برای روش Crank Nicholson

	dx	dt
Explicit	1	0.001
Implicit	0.3	0.02
Crank Nicholson	0.2	0.01

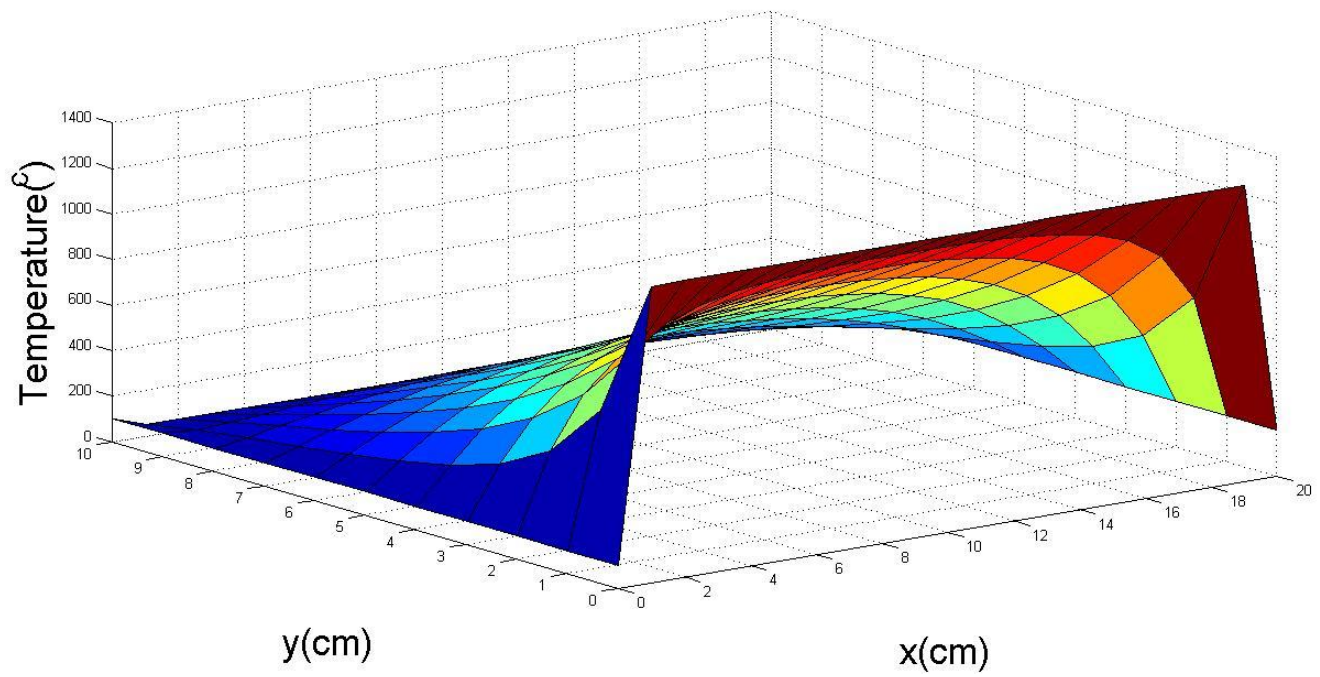
جدول 2: مقدار بهینه گام زمانی و اندازه شبکه



شکل 15: جواب مسئله برای لحظه $t=60\text{sec}$

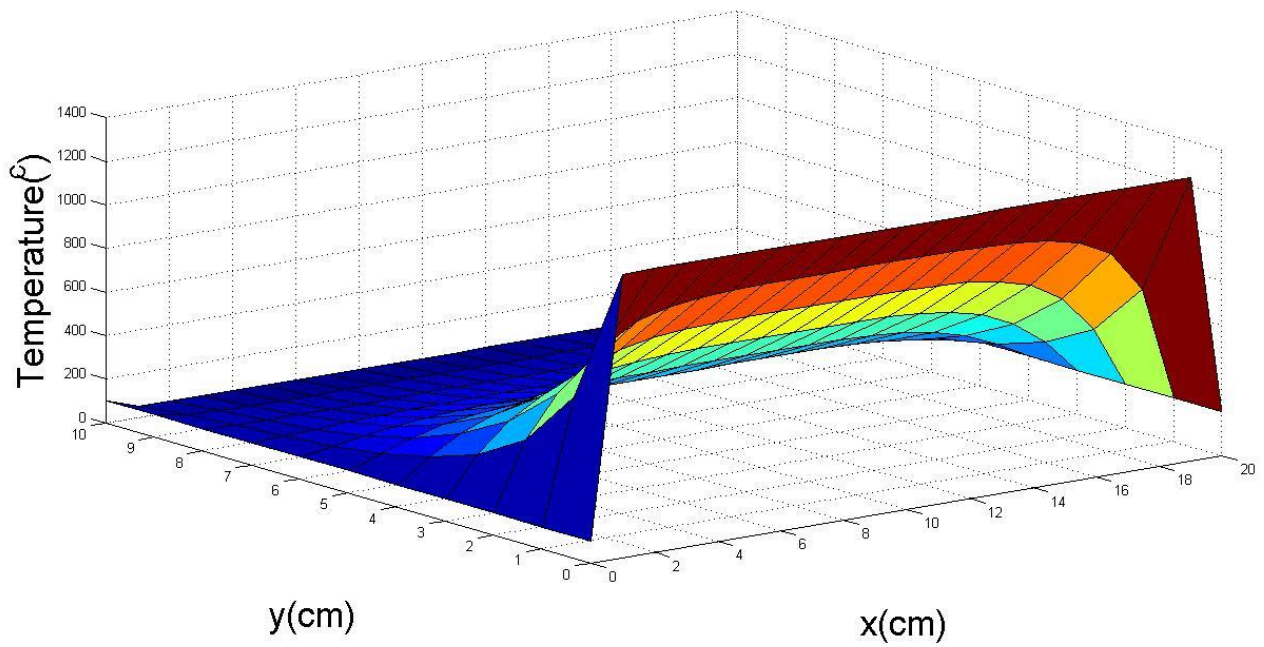


شکل 16: جواب مسئله برای لحظه $t=140\text{sec}$

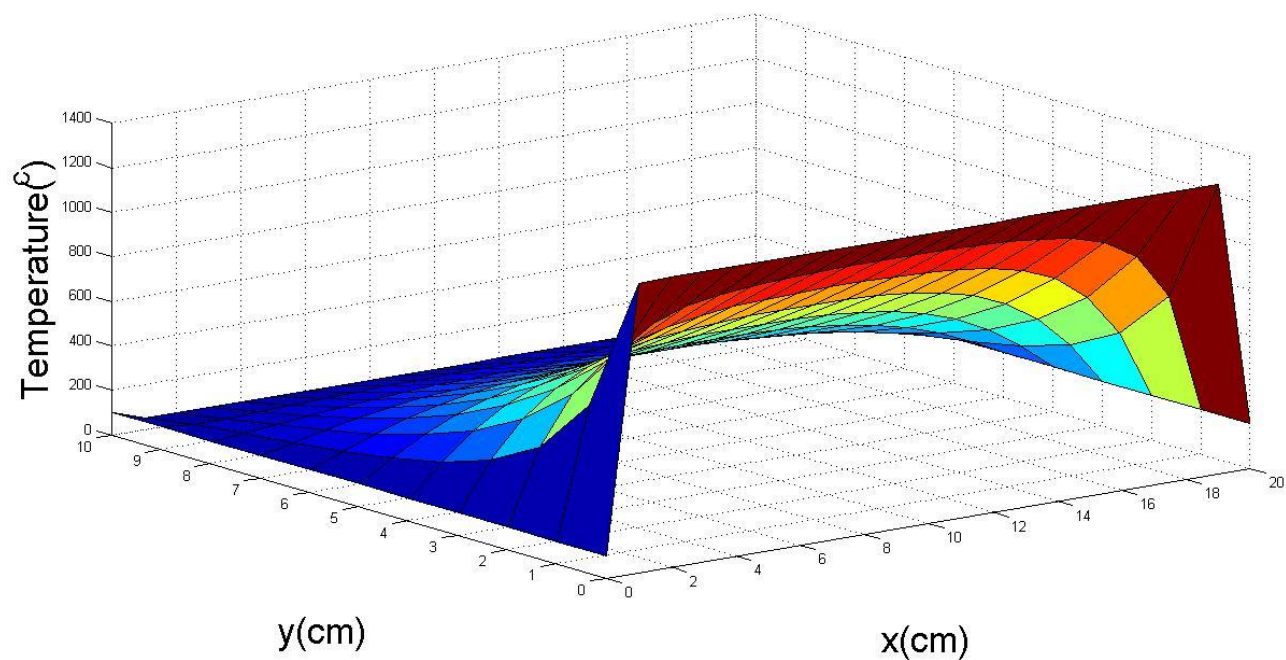


شکل 17: جواب مسئله برای شرایط تعادل

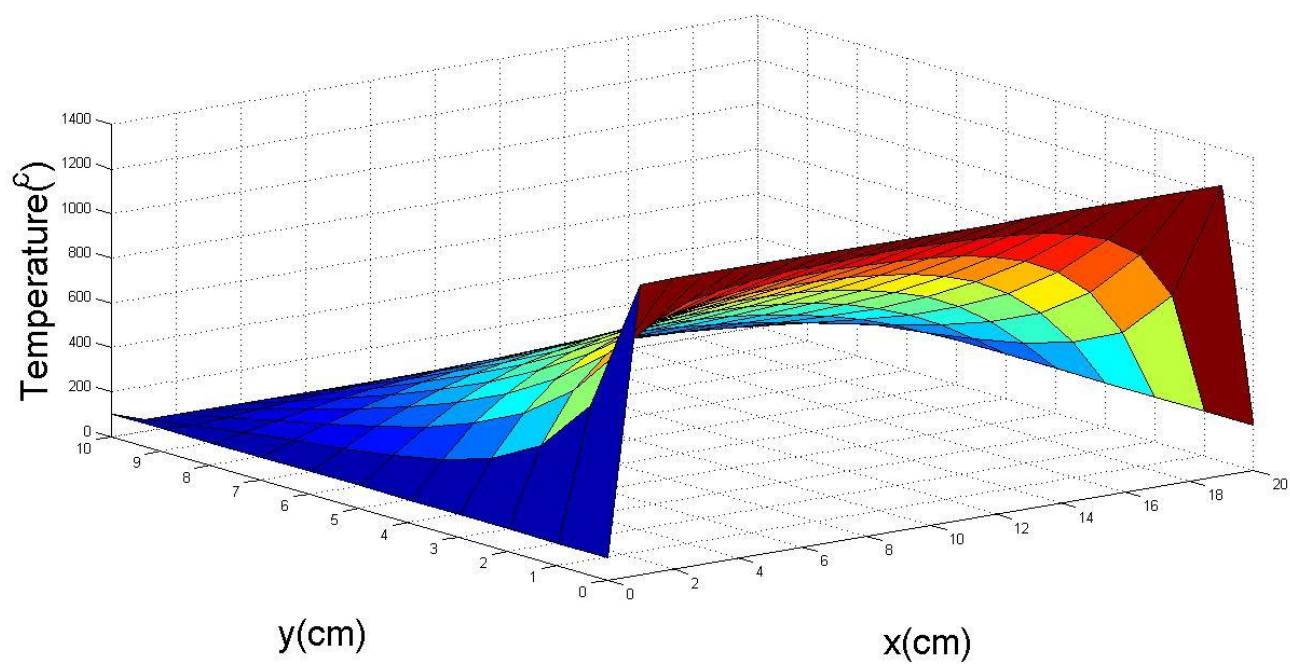
Implicit



شکل 18: جواب مسئله برای لحظه $t=20\text{sec}$

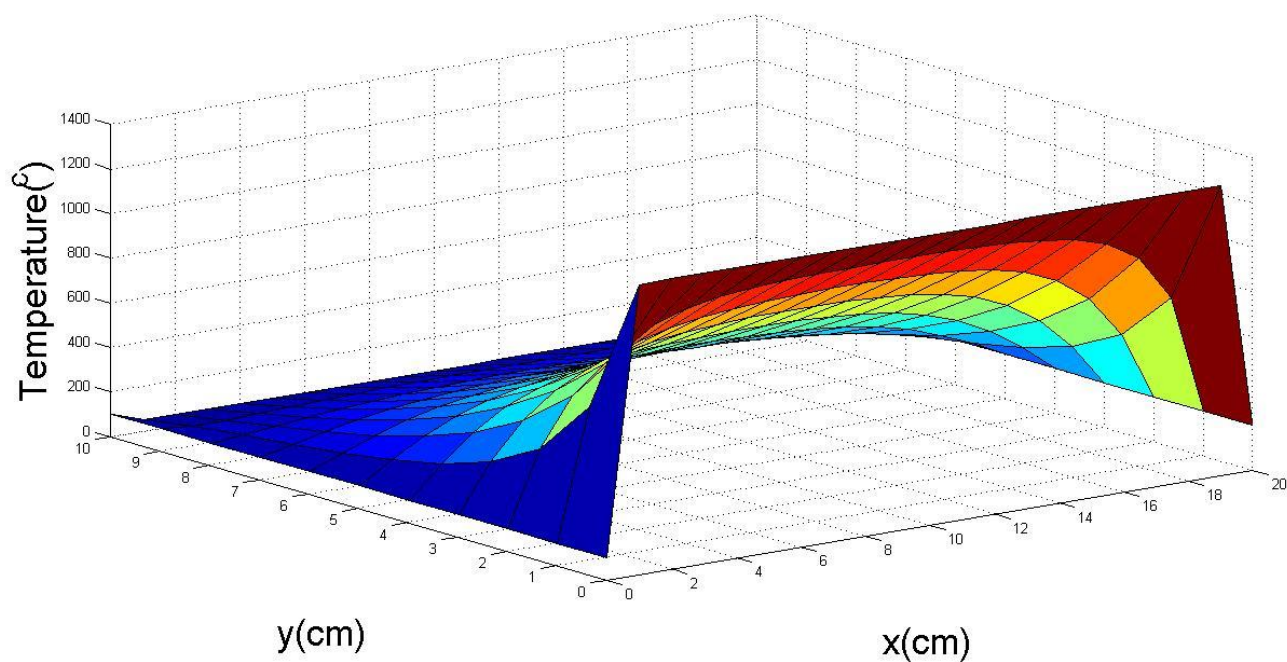


شکل 19: جواب مسئله برای لحظه $t=40\text{sec}$

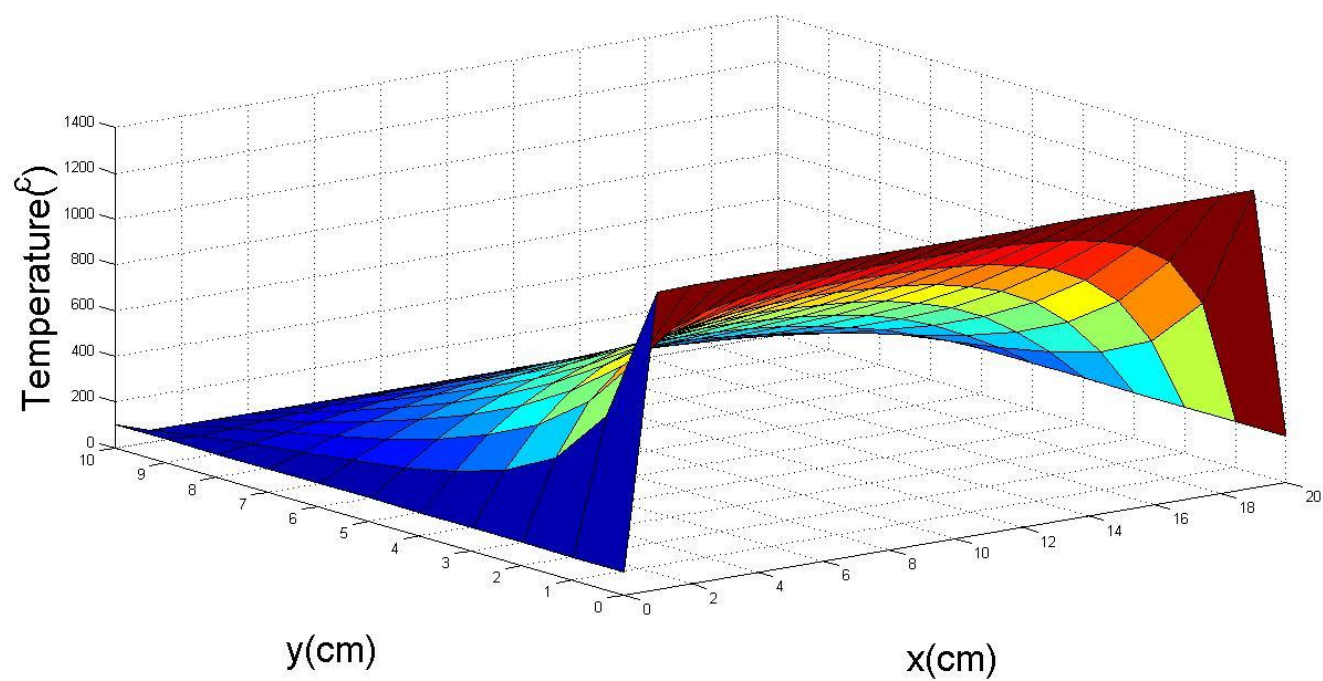


شکل 20: جواب مسئله برای شرایط تعادل

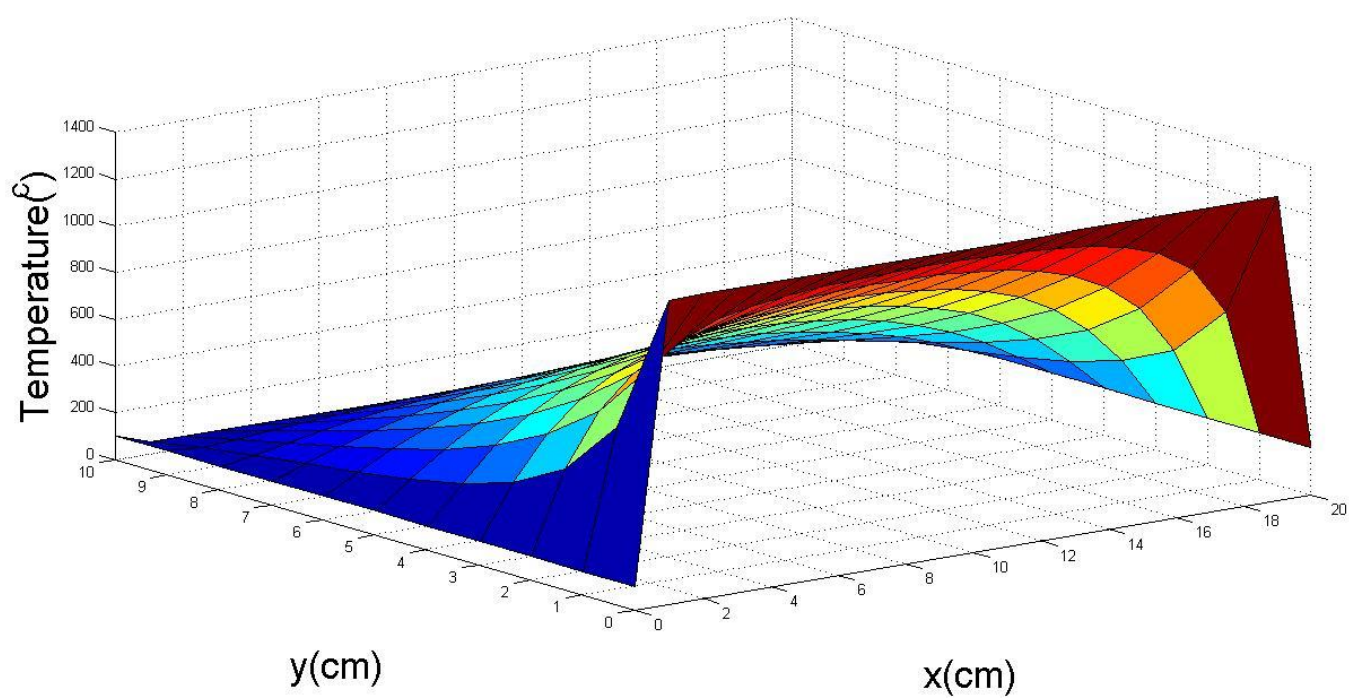
Crank Nicholson



شکل 21: جواب مسئله برای لحظه $t=20\text{sec}$

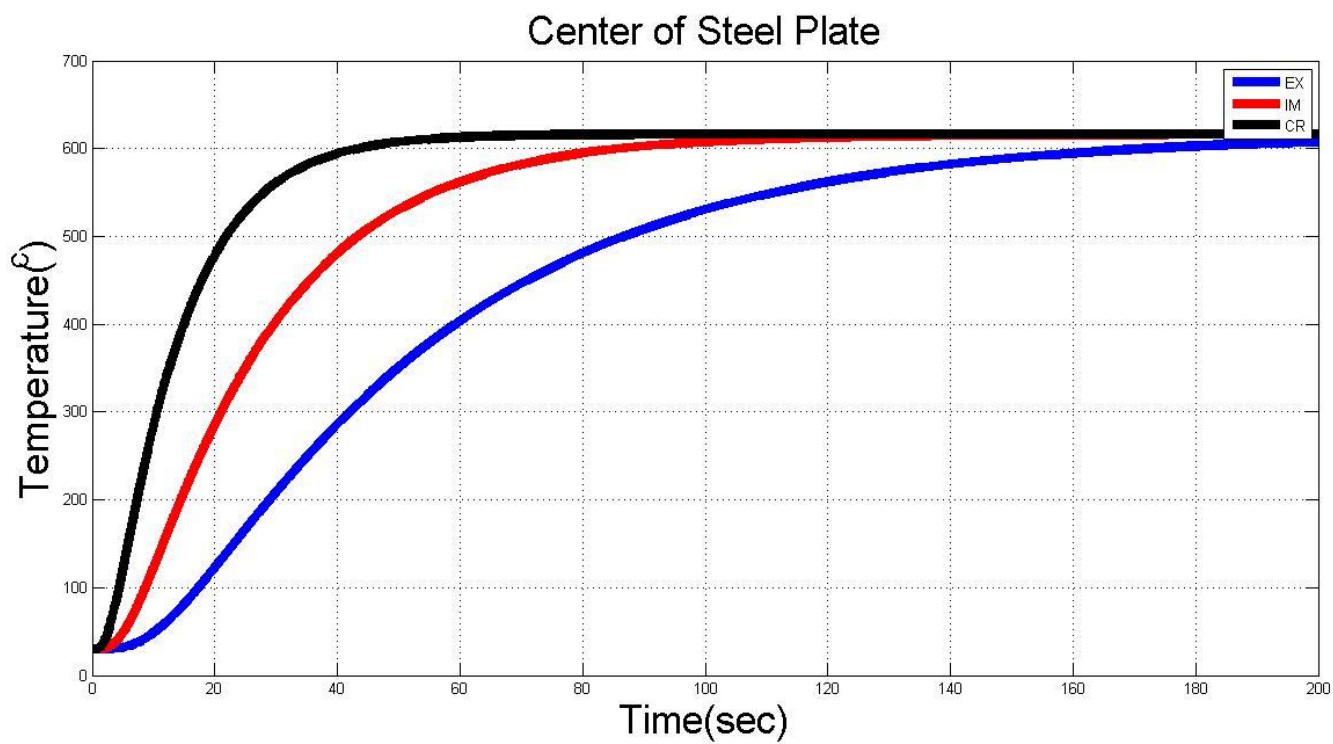


شکل 22: جواب مسئله برای لحظه $t=40\text{sec}$



شکل 23: جواب مسئله برای شرایط تعادل

مقایسه 3 روش



شکل 15: مقایسه سه روش حل تا رسیدن به نقطه تعادل ($dx=1, dt=0.02$)